

تف جوشی پلاسمای جرقه‌ای سرامیک ZrB_2 تقویت شده با SiC ذره‌ای و ویسکر*مهدی شاهدی اصل^(۱) زهره احمدی^(۲)

چکیده

تأثیر مورفولوژی فاز ثانویه کاربید سیلیسیم بر چگالش و خواص مکانیکی کامپوزیت‌های فوق دما بالای دی‌بورید زیرکونیم بررسی شد. سرامیک دی‌بورید زیرکونیم خالص (به‌عنوان نمونه شاهد) و کامپوزیت‌های دی‌بورید زیرکونیم تقویت شده با ۲۵ درصد حجمی کاربید سیلیسیم در مورفولوژی‌های متفاوت (ذره‌ای، ویسکر و مخلوط) به روش تف‌جوشی پلاسمای جرقه‌ای تولید شد. فرایند تف‌جوشی در دمای ۱۹۰۰ درجه سانتی‌گراد به مدت ۷ دقیقه با فشار ۴۰ مگاپاسکال انجام شد. چگالی نسبی نمونه شاهد حدود ۹۶ درصد به دست آمد، ولی نمونه‌های کامپوزیتی به چگالی نظری رسیدند. سختی و چقرمگی شکست نمونه‌های تقویت شده با کاربید سیلیسیم بیشتر از نمونه شاهد سرامیکی حاصل شد. افزودن توآمان ذرات و ویسکرهای کاربید سیلیسیم، اثرگذاری بهتری در ارتقای خواص مکانیکی کامپوزیت داشت.

واژه‌های کلیدی: دی‌بورید زیرکونیم، کاربید سیلیسیم، مورفولوژی، چگالش، خواص مکانیکی.

Spark Plasma Sintering of ZrB_2 -Based Ceramic Reinforced with SiC Particles and Whiskers

M. Shahedi Asl

Z. Ahmadi

Abstract

Effects of silicon carbide as the reinforcement on densification and mechanical properties of zirconium diboride-based ultra-high temperature composites were studied. A monolithic ZrB_2 ceramic (as the baseline) and three ZrB_2 -based composites reinforced with 25 vol% SiC in different morphologies (particulate, whisker and particulate/whisker mixture) were fabricated by spark plasma sintering route. The sintering process was conducted at 1900 °C for 7 min under 40 MPa. A relative density of ~96% was obtained for the ZrB_2 ceramic but the other composites approached their theoretical densities. The hardness and fracture toughness values of SiC reinforced samples were higher than those for the monolithic one. The simultaneous addition of SiC particulates/whiskers showed a synergistic effect on the enhancement of mechanical performance of composite.

Key Words: Zirconium diboride, Silicon carbide, Morphology, Densification, Mechanical properties.

* تاریخ دریافت مقاله ۹۷/۵/۲ و تاریخ پذیرش آن ۹۷/۱۲/۲۶ می‌باشد.

Email: shahedi@uma.ac.ir

(۱) نویسنده مسئول، دانشیار گروه مهندسی مکانیک، دانشگاه محقق اردبیلی، اردبیل.

(۲) عضو بنیاد پژوهشگران دانشگاه محقق اردبیلی، اردبیل.

مقدمه

ترکیب‌هایی همچون بوریدها، کاربیدها و نیتريد‌های فلزهای واسطه گروه چهارم و پنجم جدول تناوبی که دمای ذوب بیش از 3000°C درجه سانتی‌گراد دارند، با نام سرامیک‌های فوق دما بالا شناخته می‌شوند. دی‌بوریدهای فلزهای واسطه مانند دی‌بورید زیرکونیم برای کاربردهای هوافضایی، اجزای کوره‌ها، الکترودهای دما بالا، آسترهای نسوز، بوته‌های دیرگداز، سامانه‌های الکترونیکی و ابزارهای برش کاری نامزد شده‌اند. دی‌بورید زیرکونیم ویژگی‌های ساختاری، مکانیکی و فیزیکی جالبی از جمله دمای ذوب بالا (3245°C درجه سانتی‌گراد)، رسانش الکتریکی و گرمایی بالا، پایداری خوب در برابر مذاب فلزات و مقاومت به شوک گرمایی بالا دارد و گزینه مطلوبی برای کاربردهای سازه‌ای دما بالا به شمار می‌رود [1-6]. با وجود این، دی‌بورید زیرکونیم با ۲ چالش جدی و اساسی روبه‌روست: این ماده از یک سو به علت پیوند اشتراکی قوی و ضریب خودنفوذی پایین، تفجوشی‌پذیری خوبی ندارد و چگال شدن آن نیازمند دما و فشار بسیار زیادی است. از سوی دیگر، مقاومت به اکسایش دما بالای دی‌بورید زیرکونیم (در دماهای بالای 1000°C درجه سانتی‌گراد) و ویژگی‌های مکانیکی آن (همچون چقرمگی شکست) چندان جالب نیست. از این رو، پژوهش‌های گسترده‌ای در راستای بهبود این ویژگی‌ها به انجام رسیده و امروزه نیز در حال انجام است [7-11].

بیشتر افزودنی‌ها در سرامیک‌های پایه‌دی‌بورید زیرکونیم به ۲ گروه فازهای تقویت‌کننده همچون مواد کاربیدی (بهبود خواصی و بازدارنده رشد دانه) و کمک‌زینترها همچون مواد کربنی، نیتريدی و فلزی (افزایش تفجوشی‌پذیری و چگال شدن) دسته‌بندی می‌شوند. استفاده از کاربید سیلیسیم در کامپوزیت‌های پایه‌دی‌بورید زیرکونیم به بهبود رفتار چگال شدن، افزایش مقاومت به اکسایش و پیشگیری از رشد دانه کمک می‌کند [12-14]. دی‌بورید زیرکونیم با افزودن ۲۰ درصد حجمی کاربید سیلیسیم بسیار ریز (با اندازه $0.8\ \mu\text{m}$ میکرومتر) به روش پرس گرم در دمای 1900°C درجه سانتی‌گراد به مدت ۲۰ دقیقه با فشار ۴۰ مگاپاسکال

در خلأ به چگالی کامل می‌رسد [15]. با پرس گرم مخلوط پودر دی‌بورید زیرکونیم و ۳۰ درصد حجمی کاربید سیلیسیم (با اندازه $0.5\ \mu\text{m}$ میکرومتر) می‌توان به چگالی نسبی ۹۷ درصد در دمای 1900°C درجه سانتی‌گراد رسید [9]. افزون‌براین، افزودن $22/4$ درصد حجمی کاربید سیلیسیم نانو اندازه به طور چشمگیری دمای پرس گرم لازم برای رسیدن به چگالی کامل را تا 1650°C درجه سانتی‌گراد کاهش می‌دهد [8]. ساخت کامپوزیت دی‌بورید زیرکونیم با ۲۰ درصد حجمی کاربید سیلیسیم ($30\ \text{nm}$ نانومتر) به روش پرس گرم در دمای 1900°C درجه سانتی‌گراد نشان داد که حضور ذره‌های کاربید سیلیسیم به گونه چشمگیری از رشد دانه‌های دی‌بورید زیرکونیم جلوگیری می‌کند. افزون‌براین، خواص مکانیکی در مقایسه با کامپوزیت‌های تقویت‌شده با کاربید سیلیسیم (در اندازه میکرومتر) بهبود بسیاری یافت. تشکیل نانوساختارهای درون‌دانه‌ای، نقش کلیدی در استحکام بخشی و چقرمه شدن کامپوزیت‌های پایه‌دی‌بورید زیرکونیم دارد [16]. مقدار و اندازه ذرات کاربید سیلیسیم، تأثیر چشمگیری بر چگالی نسبی و چقرمگی شکست کامپوزیت‌های پایه‌دی‌بورید زیرکونیم ساخته شده به روش تفجوشی پلاسمای جرقه‌ای دارد. هر چه اندازه ذره کاربید سیلیسیم کوچک‌تر باشد، بهبود بیشتری بر چقرمگی شکست دارد [17]. برای بهبود چقرمگی شکست کامپوزیت‌های پایه‌دی‌بورید زیرکونیم، از الیاف کاربید سیلیسیم نیز بهره جسته‌اند. با پرس گرم در دمای 1650°C تا 1730°C درجه سانتی‌گراد، چگالی نسبی بالای ۹۵ درصد به دست آمد. افزودن ۲۰ درصد حجمی الیاف کاربید سیلیسیم، چقرمگی شکست کامپوزیت را ۳۰ تا ۵۰ درصد نسبت به ماده زمینه افزایش داد، ولی استحکام خمشی کاهش یافت [18]. کامپوزیت‌های دی‌بورید زیرکونیم با فاز تقویت‌کننده ویسکر کاربید سیلیسیم در دمای 1600°C درجه سانتی‌گراد به روش تفجوشی پلاسمای جرقه‌ای و در دمای 1800°C درجه سانتی‌گراد به روش پرس گرم تولید شده‌اند. در هر ۲ روش، ویژگی‌های مکانیکی خوبی حاصل شد، به گونه‌ای که استحکام خمشی به بالای $700\ \text{MPa}$ مگاپاسکال و چقرمگی

۷ دقیقه و با اعمال فشار ۴۰ مگاپاسکال انجام خواهد شد.

روش پژوهش

مواد اولیه به کاررفته در این طرح پژوهشی عبارتند از پودرهای ذرات ZrB_2 ذرات SiC و ویسکر SiC که از شرکت چینی Xuzhou Hongwu خریداری شده و مشخصات آنها برپایه اطلاعات ارائه شده فروشنده که در جدول ۱ آورده شده است. پودرهای مواد اولیه برپایه درصد حجمی تعریف شده برای هر نمونه که در جدول ۲ آورده شده است، توزین شدند. سپس پودرها به مدت ۱ ساعت و جداگانه در اتانول به روش فراصوتی پراکنده سازی شدند. اختلاط این مواد با همدیگر نیز ۳۰ دقیقه در حمام فراصوتی انجام شد. مخلوط همگن به دست آمده، نخست روی یک همزن مغناطیسی برای تبخیر اتانول و سپس در یک خشک کن ساده برای خشک شدن کامل قرار داده شد. مخلوط پودر خشک به دست آمده، خرد و از یک الک با مش ۱۰۰ عبور داده شد.

جدول ۱ ویژگی های مواد اولیه (با اخذ مجوز از ناشر مرجع [24])

نام ماده	متوسط اندازه مواد	خلوص (%)
ZrB ₂ ذره ای	< 2 μm	۹۹/۹
SiC ذره ای	< 500 nm	۹۹/۰
SiC ویسکر	قطر: ۵۰۰-۱۰۰۰ nm، طول: ۲۰ μm	۹۹/۰

جدول ۲ ترکیب (درصد حجمی) نمونه های کامپوزیتی

نام گذاری	درصد حجمی افزودنی SiC
سرامیک یکپارچه ZrB ₂	صفر
ZrB ₂ تقویت شده با SiC ذره ای	۲۵ (فقط ذره ای)
ZrB ₂ تقویت شده با SiC ویسکر	۲۵ (فقط ویسکر)
ZrB ₂ تقویت شده با SiC مخلوط	۲۵ (مخلوط برابر از هر دو نوع)

مخلوط پودر حاصل از مرحله قبل، درون یک قالب گرافیتی پوشیده شده با فویل گرافیتی ریخته شد و فرایند تف جوشی پلاسمای جرقه ای در یک کوره پرس گرم (شکل ۱) به انجام رسید. چرخه گرمایش همه نمونه ها از دمای اتاق

شکست به بیش از ۶ مگاپاسکال جذر متر رسید. دلیل چقرمگی بالای این کامپوزیت ها، فعال شدن سازوکارهای پل زدن ویسکر، انحراف ترک در پیرامون ویسکر و بیرون زدن ویسکر گزارش شده است [19]. بررسی ها نشان داده است که ویسکر کاربرد سیلیسیم در دمای بالای ۱۹۰۰ درجه سانتی گراد پایدار نیست و به شکل ذرات کاربرد سیلیسیم درمی آید. از این رو، بالا بودن بیش از حد دمای تف جوشی از کارایی کامپوزیت های پایه دی بورید زیرکونیم تقویت شده با ویسکر کاربرد سیلیسیم می کاهد [20,21]. به دلیل زمان کوتاه مورد نیاز برای دستیابی به چگالی کامل در فرایند تف جوشی پلاسمای جرقه ای، رشد دانه می تواند به طور چشمگیری کاهش یابد و به ویژگی های بهتری منجر شود. برخی برتری های تف جوشی پلاسمای جرقه ای در مقایسه با پرس گرم یا پرس ایزواستاتیک گرم، برتری های فنی آن است. به عنوان نمونه می توان زمان کوتاه فرایند و استفاده از نرخ های گرمایشی بالا که رشد دانه را کمینه می کند، نام برد. این موارد بیشتر به ویژگی های فیزیکی، مکانیکی یا نوری خوبی منجر می شود و نیاز به کمک زیتتر را از بین می برد [22-24].

تاکنون بررسی های اندکی درباره اثر مورفولوژی فاز تقویت کننده کاربرد سیلیسیم بر ریزساختار، چگالش و خواص مکانیکی کامپوزیت های پایه دی بورید زیرکونیم ساخته شده به روش نوین تف جوشی پلاسمای جرقه ای انجام شده است. در واقع بیشتر پژوهش ها بر روش های تف جوشی بدون فشار و پرس گرم متمرکز بوده است و فرایند تف جوشی پلاسمای جرقه ای به بررسی های بیشتری نیاز دارد. بنابراین هدف این طرح پژوهشی، بررسی دقیق تر این مسئله است. در این راستا یک نمونه سرامیکی از جنس دی بورید زیرکونیم به عنوان نمونه شاهد ساخته خواهد شد. نمونه های کامپوزیتی پایه دی بورید زیرکونیم نیز با فاز تقویت شده کاربرد سیلیسیم به مقدار ۲۵ درصد حجمی در مورفولوژی های متفاوت (ذره ای، ویسکر و مخلوط) تولید خواهند شد. فرایند ساخت نمونه ها به روش تف جوشی پلاسمای جرقه ای در دمای ۱۹۰۰ درجه سانتی گراد به مدت

پایه قانون مخلوط‌ها که مقادیر چگالی فازهای خالص ZrB_2 و SiC به ترتیب $6/1$ و $3/2$ گرم بر سانتی متر مکعب است، محاسبه شد. چگالی نسبی نمونه‌های تفجوشی پلاسمای جرقه‌ای شده به صورت نسبت بین چگالی حجمی و چگالی نظری تعیین می‌شود. سختی نمونه‌ها با استفاده از دستگاه سختی‌سنج ویکرز اندازه‌گیری شد. چقرمگی شکست نمونه‌ها نیز با اندازه‌گیری مستقیم طول ترک به وجود آمده ناشی از فرورونده ویکرز تعیین شد. ریزساختار مواد اولیه و همچنین سطوح شکست و پولیش شده نمونه‌های تفجوشی پلاسمای جرقه‌ای شده با میکروسکوپ الکترونی روبشی گسیل میدانی بررسی شد. شناسایی فازی نیز به روش پراش پرتو ایکس انجام شد.

نتایج و تحلیل

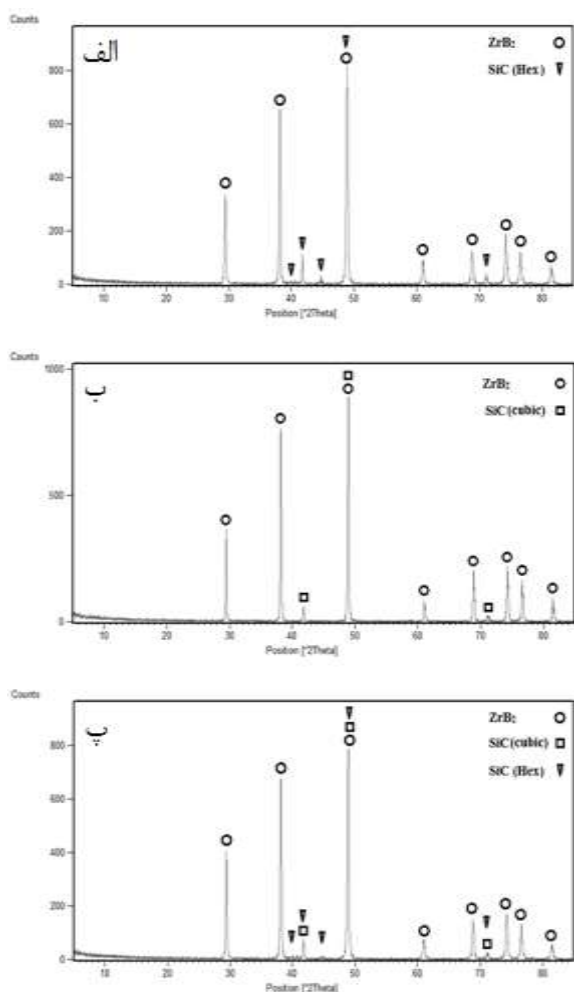
در شکل ۲ چگالی نسبی نمونه‌های ساخته شده به روش تفجوشی پلاسمای جرقه‌ای گزارش شده است. نمونه سرامیکی دی‌بورید زیرکونیم (فاقد فاز تقویت‌کننده کاربید سیلیسیم) به چگالی نسبی حدود ۹۶ درصد رسیده است. نمونه‌های کامپوزیتی پایه دی‌بورید زیرکونیم تقویت شده با ذرات کاربید سیلیسیم و ویسکر کاربید سیلیسیم به چگالی نسبی $99/9$ درصد دست یافته‌اند و تقریباً می‌توان ادعا کرد که شرایط فراوری برای رسیدن به نمونه‌های کاملاً چگال تأمین شده است. نمونه‌ای که با مخلوطی از ذرات و ویسکرهای کاربید سیلیسیم تقویت شده است، به چگالی نظری (۱۰۰ درصد) خود رسیده است. باید خاطر نشان کرد که دقت دهم درصدی در آزمون چگالی‌سنجی چندان مهم نیست و هر ۳ نمونه کامپوزیتی را می‌توان کاملاً چگال (عاری از هرگونه تخلخل) در نظر گرفت. در شرایط آزمایش طراحی شده برای این پژوهش، متغیرهای فرایند تفجوشی به گونه‌ای بوده است که امکان دستیابی به چگالی کامل را برای کامپوزیت‌های پایه دی‌بورید زیرکونیم تقویت شده با کاربید سیلیسیم (مستقل از مورفولوژی آن) فراهم کند.

تا 1900 درجه سانتی‌گراد تعیین شد که فشار اولیه 10 مگاپاسکال (حین فرایند تفجوشی) و فشار نهایی 40 مگاپاسکال (حین مرحله تفجوشی نهایی) به مدت 7 دقیقه اعمال شد. در پایان فرایند گرمایش، کوره خاموش شد و پس از رسیدن به دمای اتاق، نمونه‌های تفجوشی پلاسمای جرقه‌ای شده از قالب خارج شدند.



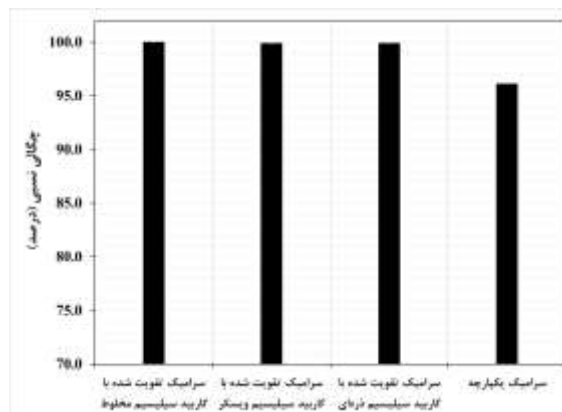
شکل ۱ کوره تفجوشی پلاسمای جرقه‌ای مستقر در پژوهشگاه مواد و انرژی و شیوه جاسازی قالب در آن

پس از پایان فرایند تفجوشی پلاسمای جرقه‌ای، نمونه‌های قرصی شکل به قطر 3 سانتی‌متر ساخته شد. برای حذف لایه‌های گرافیت از روی سطوح نمونه‌ها، از سنگ الماسه استفاده شد و سپس با استفاده از سنباده پرداخت شدند. چگالی حجمی نمونه‌های تفجوشی پلاسمای جرقه‌ای شده به روش ارشمیدس و با استفاده از آب مقطر به عنوان واسطه غوطه‌وری اندازه‌گیری شد. چگالی نظری بر



شکل ۳ الگوهای پراش پرتو ایکس کامپوزیت‌های تقویت شده با کاربید سیلیسیم (الف) ذره‌ای، (ب) ویسکر و (پ) مخلوط (با اخذ مجوز از ناشر مرجع [24])

تصاویر میکروسکوپ الکترونی روبشی از سطح پرداخت شده و مقطع شکست سرامیک Z در شکل ۴ به نمایش درآمده است. پیش‌زمینه روشن، نمایانگر فاز زمینه دی‌بورید زیرکونیم و مناطق تیره‌رنگ نشان‌دهنده تخلخل‌های باقی‌مانده در ساختار نمونه تف‌جوشی شده است. وجود این تخلخل‌ها در سطح مقطع شکست سرامیک نیز آشکارا دیده می‌شود. این نمونه به چگالی نظری خود نرسیده است (باتوجه به چگالی نسبی ۹۶ درصد)، ولی سطح مقطع شکست نمونه به خوبی بیان می‌کند که فرایند تف‌جوشی پیشرفت مناسبی داشته است. این امر را می‌توان از شکل‌گیری دانه‌های چندوجهی در مقطع شکست تشخیص داد، به طوری که با



شکل ۲ چگالی نسبی نمونه‌های ساخته شده به روش تف‌جوشی پلاسمای جرقه‌ای (با اخذ مجوز از ناشر مرجع [24])

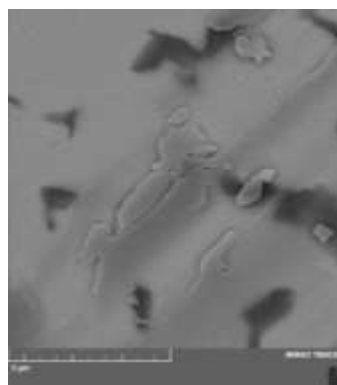
در شکل ۳، الگوهای پراش پرتو ایکس نمونه‌های کامپوزیتی به نمایش درآمده است. در کامپوزیت دی‌بورید زیرکونیم تقویت شده با ذرات کاربید سیلیسیم، پیک‌های فاز زمینه دی‌بورید زیرکونیم و افزودنی کاربید سیلیسیم (از نوع α -SiC با ساختاری بلوری هگزاگونال) شناسایی شدند. این مشاهده بیانگر آن است که در فرایند تف‌جوشی پلاسمای جرقه‌ای فاز جدیدی به وجود نیامده است و فقط فازهایی شناسایی شده‌اند که به عنوان ماده اولیه در مخلوط پودر کامپوزیت به کار رفته بودند. از این رو، فرایند ساخت کامپوزیت یادشده را می‌توان از نوع تف‌جوشی غیرواکنشی برشمرد.

در نمونه کامپوزیت پایه دی‌بورید زیرکونیم تقویت شده با ویسکر کاربید سیلیسیم، به جز پیک‌های فاز زمینه، پیک‌های فاز کاربید سیلیسیم (از نوع β -SiC با ساختاری بلوری مکعبی) دیده می‌شود که به نوعی گویای ویسکر بودن این افزودنی نیز هست. در الگوی پراش پرتو ایکس کامپوزیت پایه دی‌بورید زیرکونیم تقویت شده با مخلوطی از ذرات و ویسکر کاربید سیلیسیم، افزون بر پیک‌های فاز زمینه، پیک‌های مربوط به هر ۲ نوع مورفولوژی کاربید سیلیسیم (α -SiC و β -SiC) شناسایی شدند. غیرواکنشی بودن فرایند تف‌جوشی برای این موارد نیز صادق است، زیرا ترکیب فازی کامپوزیت‌های حاصل مانند ترکیب مخلوط پودر اولیه است.

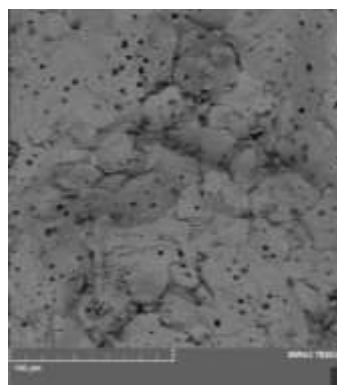
شکل ۵ تصاویر میکروسکوپ الکترونی روبشی از سطح پرداخت‌شده و سطح مقطع شکست نمونه کامپوزیتی تقویت شده با کاربید سیلیسیم ذره‌ای را نشان می‌دهد. فاز دی‌بورید زیرکونیم به رنگ روشن و فاز کاربید سیلیسیم به رنگ تیره در این تصاویر از یکدیگر تفکیک شده است. نمونه کامپوزیتی پایه‌دی‌بورید زیرکونیم که با ۲۵ درصد حجمی ذرات کاربید سیلیسیم تقویت شده است، تقریباً به چگالی نظری خود دست یافته است. اندازه میانگین دانه‌های دی‌بورید زیرکونیم در ریزساختار نمونه، رشد چندانی نسبت به اندازه پودر اولیه خود نداشته است. به عبارت دیگر، حضور ذرات کاربید سیلیسیم به‌عنوان فاز ثانویه در مرز دانه‌های زمینه دی‌بورید زیرکونیم، از رشد افراطی دانه‌ها جلوگیری کرده است. از این رو، فاز کاربید سیلیسیم، نقش بسیار مثبتی در دستیابی به کامپوزیت‌های پایه‌دی‌بورید زیرکونیم (با ساختار ریزدانه) بازی می‌کند. به نظر می‌رسد که افزودنی کاربید سیلیسیم توانسته است به پیشبرد فرایند تفجوشی و چگالش دی‌بورید زیرکونیم یاری برساند. عدد محاسبه‌شده برای چگالی نسبی این نمونه کامپوزیتی (۹۹/۹ درصد)، با مشاهدات ریزساختاری سازگار است، زیرا هیچ‌گونه تخلخل و حفره مشهودی در تصاویر مربوط دیده نمی‌شود.

تصویر میکروسکوپ الکترونی روبشی از کامپوزیت تقویت شده با کاربید سیلیسیم ویسکر در شکل ۶ به نمایش درآمده است. ریزساختار مشاهده‌شده برای این کامپوزیت با مقدار گزارش‌شده برای چگالی نسبی آن (۹۹/۹ درصد) مطابقت خوبی دارد. تخلخل مشهودی در این ریزساختار وجود ندارد و موارد شبه‌تخلخلی که دیده می‌شود، در واقع فازهای کاربیدی هستند که هنگام فرایند پرداخت کاری از ریزساختار کامپوزیت کنده شده‌اند. فازهای تیره‌رنگ کاربید سیلیسیم در قیاس با کاربیدهای مشاهده‌شده در سطح پرداخت‌شده کامپوزیت تقویت شده با کاربید سیلیسیم ذره‌ای کشیده‌تر (دارای نسبت ظاهری بیشتر) هستند که نشان‌دهنده مورفولوژی خاص ویسکرهاست. با وجود این، به نظر می‌رسد به دلیل دمای بالای فرایند تفجوشی، شماری از ویسکرها دچار گسستگی شده و به شکل ذره‌ای درآمده‌اند.

ساختار بلوری هگزاگونال دی‌بورید زیرکونیم سازگاری دارد. دلیل دست‌نیافتن به چگالی ۱۰۰ درصد را (با وجود پیشرفت مناسب رخداد تفجوشی) می‌توان به رشد بی‌رویه دانه‌ها هنگام فرایند زینترینگ ارتباط داد. رشد بی‌رویه دانه‌ها را می‌توان در مقطع شکست نمونه سرامیکی نیز ملاحظه کرد که در مقایسه با اندازه اولیه پودر دی‌بورید زیرکونیم (۲ میکرومتر)، مقدار درخور توجهی دارد. دلیل این رخداد نامطلوب را می‌توان به حضور ناخالصی‌های اکسیدی سطحی (از جمله زیرکونیا و بوریا) نسبت داد. اکسید بور (بوریا) فاز زودگذاری است که به‌هنگام فرایند تفجوشی به‌حالت مذاب درمی‌آید و بستری برای رشد دانه‌ها فراهم می‌کند. بنابراین از بین بردن این لایه‌های اکسیدی سطحی برای جلوگیری از رشد بی‌رویه دانه‌های دی‌بورید زیرکونیم (به‌عنوان یک سرامیک دیرگداز غیراکسیدی) بسیار ضروری به نظر می‌رسد.

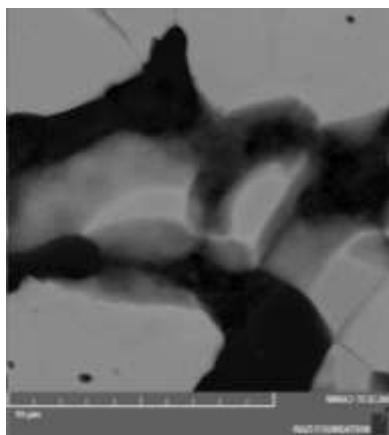


(الف)



(ب)

شکل ۴ تصویر میکروسکوپ الکترونی روبشی از (الف) سطح پرداخت‌شده و (ب) مقطع شکست سرامیک یکپارچه



(الف)

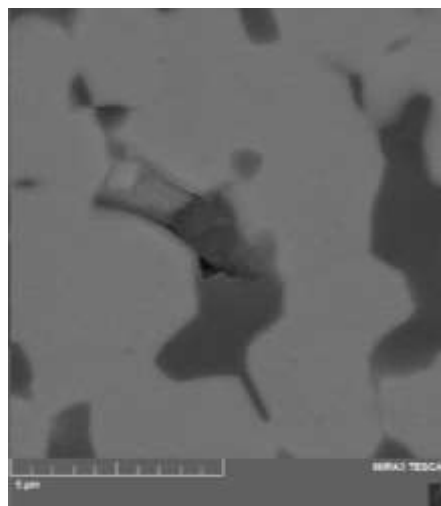


(ب)

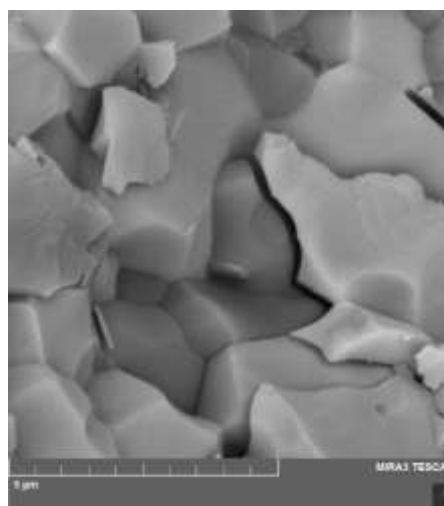
شکل ۶ تصویر میکروسکوپ الکترونی روبشی از (الف) سطح پرداخت شده و (ب) مقطع شکست کامپوزیت تقویت شده با کاربید سیلیسیم ویسکر

شکل ۷ تصاویر میکروسکوپ الکترونی روبشی از سطح پرداخت شده و سطح مقطع شکست نمونه کامپوزیتی تقویت شده با کاربید سیلیسیم مخلوط را نشان می‌دهد. این ریزساختارها نیز به خوبی گویای آن است که نمونه کامپوزیت پایه‌دی‌بورید زیرکونیم تقویت شده با مخلوطی از ذرات ویسکرهای کاربید سیلیسیم به چگالی کامل رسیده است. همان‌گونه که پیش‌تر نیز گزارش شد، چگالی نسبی نمونه یاد شده حدود ۱۰۰ درصد است و هیچ‌گونه تخلخلی در ریزساختار نمونه تف‌جوشی شده وجود ندارد. در اینجا نیز باید یادآور شد مناطقی که ظاهری تخلخل مانند دارند، در حقیقت حفره و تخلخل نیستند، بلکه آثار فازهای کاربیدی با

در هر صورت، به دلیل کوتاه بودن زمان فرایند تف‌جوشی پلاسمای جرقه‌ای، همچنان تعدادی از ویسکرهای کاربید سیلیسیم مورفولوژی خود را حفظ کرده‌اند. در تصویر بزرگ‌نمایی شده از سطح مقطع شکست کامپوزیت تقویت شده با کاربید سیلیسیم ذره‌ای، ویسکر دیده می‌شود که مورفولوژی رشته‌مانند خود را حفظ کرده‌اند.



(الف)

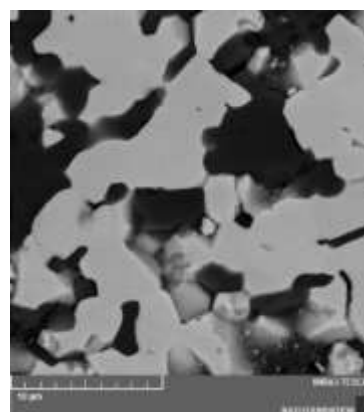


(ب)

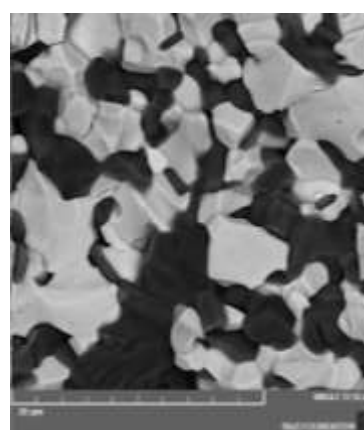
شکل ۵ تصویر میکروسکوپ الکترونی روبشی از: (الف) سطح پرداخت شده و (ب) مقطع شکست کامپوزیت تقویت شده با کاربید سیلیسیم ذره‌ای

چگالی نسبی هر ماده‌ای، یکی از پارامترهای تعیین‌کننده خواص مکانیکی (برای نمونه: سختی و استحکام) آن ماده است. در بحث سختی، تخلخل‌های موجود در یک نمونه، هیچ‌گونه مقاومتی در برابر فشار وارد شده ناشی از فرورونده از خود نشان نمی‌دهند و تغییر شکل در سطح قطعه در معرض آزمون سختی‌سنجی، آسان‌تر به وجود می‌آید. از همین رو، سختی نمونه‌های دارای تخلخل بالا، پایین‌تر از نمونه‌های هم‌جنس چگال است. در نمودار شکل ۸، سختی ویکرز نمونه‌های سرامیکی ساخته‌شده به روش تفجوشی پلاسمای جرقه‌ای گزارش شده است. سختی نمونه Z (سرامیک دی‌بورید زیرکونیم خالص) برابر ۱۳/۱ گیگاپاسکال به دست آمد. نمونه‌های کامپوزیتی تقویت‌شده با کاربید سیلیسیم، سختی بیشتری نسبت به نمونه سرامیکی بدون افزودنی دارد. این امر را می‌توان به وجود ۴ درصد تخلخل در سرامیک یکپارچه و همچنین سختی ذاتی بالاتر کاربید سیلیسیم در قیاس با دی‌بورید زیرکونیم نسبت داد. سختی کامپوزیت‌های تقویت شده با کاربید سیلیسیم ذره‌ای، ویسکر و مخلوط به ترتیب برابر با ۱۹/۵، ۲۱/۹ و ۲۳ گیگاپاسکال اندازه‌گیری شد. از یک سو، هر ۳ نمونه کامپوزیتی ترکیب و چگالی یکسانی دارند و از سوی دیگر، کاربیدهای سیلیسیم با ساختارهای بلوری هگزاگونال و مکعبی سختی همانند هستند. با وجود این، به نظر می‌رسد که حضور کاربید سیلیسیم به شکل ویسکر، سختی بالاتری را نسبت به کاربید سیلیسیم ذره‌ای فراهم کند. اثر افزودن هم‌زمان ذرات ویسکرهای کاربید سیلیسیم بر افزایش سختی کامپوزیت پایه دی‌بورید زیرکونیم نیز جالب توجه است، به طوری که نمونه تقویت شده با کاربید سیلیسیم مخلوط سختی بیشتری نسبت به نمونه‌های دیگر دارد. چنین مشاهده‌ای را شاید بتوان به بازدارندگی بیشتر و مؤثرتر ویسکرهای کاربید سیلیسیم (در قیاس با ذرات کاربید سیلیسیم) در مقابل حرکت نابجایی‌ها نسبت داد. هرچه حرکت نابجایی‌ها دشوارتر شود، تغییر شکل پلاستیک ناشی از فرورونده دستگاه سختی‌سنج ویکرز نیز مشکل‌تر خواهد شد و چه بسا حضور فازهای با نسبت ظاهری بالاتر (کشیده‌تر) چنین شرایطی را فراهم می‌کند.

سختی بالای کنده‌شده در اثر فرایند پرداخت کاری با خمیر الماسه هستند. در این تصاویر که فازهای تیره‌رنگ نشان‌دهنده کاربید سیلیسیم است، هردو مورفولوژی ذره‌ای و ویسکری دیده می‌شود. ویسکرهای کاربید سیلیسیم گهگاه به صورت انفرادی دیده می‌شوند، ولی در بیشتر موارد به نظر می‌رسد که ویسکرهای کاربید سیلیسیم به فازهای ذره‌ای کاربید سیلیسیم متصل شده‌اند. حتی در برخی مناطق شبکه‌های پیوسته و درهم‌تنیده‌ای از ویسکرها و ذرات کاربید سیلیسیم در زمینه‌ای از دی‌بورید زیرکونیم تشکیل شده‌اند.



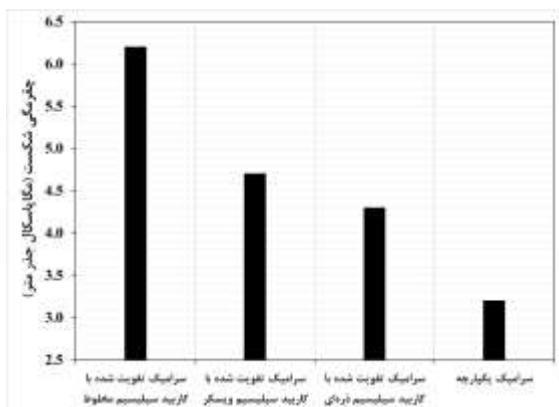
(الف)



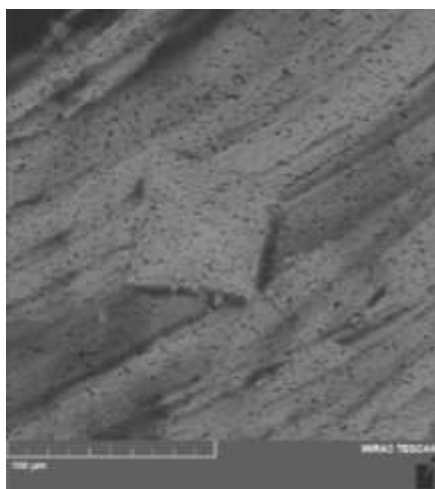
(ب)

شکل ۷ تصویر میکروسکوپ الکترونی روبشی از (الف) سطح پرداخت‌شده (با اخذ مجوز از ناشر مرجع [24]) و (ب) مقطع شکست کامپوزیت تقویت شده با کاربید سیلیسیم مخلوط

می‌شود، مسیر پیشروی این ترک‌ها کمابیش به صورت مستقیم‌اند، بی‌آنکه دچار انحراف، انشعاب یا پدیده خاص دیگری شوند. در واقع حرکت و پیشروی مستقیم این ترک‌ها نشان ترد بودن نمونه است که با مقدار چقرمگی شکست پایین آن منطبق است.



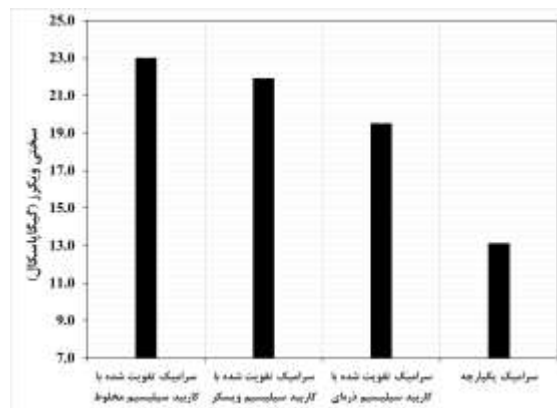
شکل ۹ چقرمگی شکست نمونه‌های ساخته‌شده به روش تف‌جوشی پلاسمای جرقه‌ای (با اخذ مجوز از ناشر مرجع [24])



شکل ۱۰ تصویر میکروسکوپ الکترونی روبشی از محل اثر فرورونده ویکرز در سطح پرداخت‌شده سرامیک Z

چقرمگی شکست نمونه‌های کامپوزیتی تقویت شده با کربید سیلیسیم ذره‌ای و ویسکر به ترتیب برابر ۴/۳ و ۴/۷ مگاپاسکال جذر متر اندازه‌گیری شد. این مقادیر افزایش چشمگیری نسبت به چقرمگی شکست نمونه سرامیک یکپارچه (۳/۲ مگاپاسکال جذر متر) دارد که بیانگر نقش

همچنین سختی بالاتر نمونه تقویت شده با مخلوطی از فازهای تقویت کننده ویسکری / ذره‌ای را می‌توان به تشکیل شبکه‌های درهم تنیده ذرات و ویسکرهای کربید سیلیسیم مرتبط دانست که در برابر حرکت نابجایی‌ها مانع ایجاد می‌کنند.



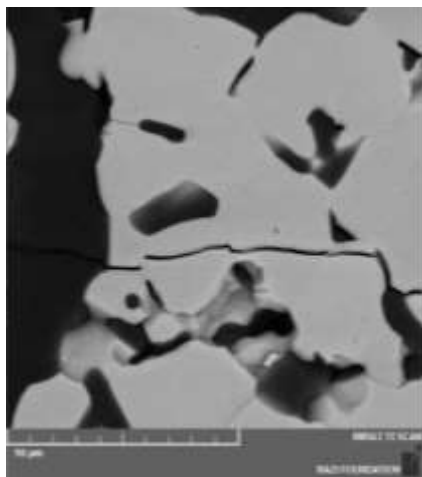
شکل ۸ سختی ویکرز نمونه‌های ساخته‌شده به روش تف‌جوشی پلاسمای جرقه‌ای (با اخذ مجوز از ناشر مرجع [24])

نتایج برآوردهای چقرمگی شکست نمونه‌های سرامیکی و کامپوزیتی ساخته‌شده به روش تف‌جوشی پلاسمای جرقه‌ای در نمودار شکل ۹ ارائه شده است. روند مشاهده‌شده برای چقرمگی شکست نمونه‌ها تقریباً مشابه روندی است که برای سختی نمونه‌ها به دست آمد. به بیان دیگر چقرمگی شکست نمونه‌های تقویت شده با کربید سیلیسیم بیشتر از نمونه سرامیکی دی‌بورید زیرکونیم بدون افزودنی کربیدی است.

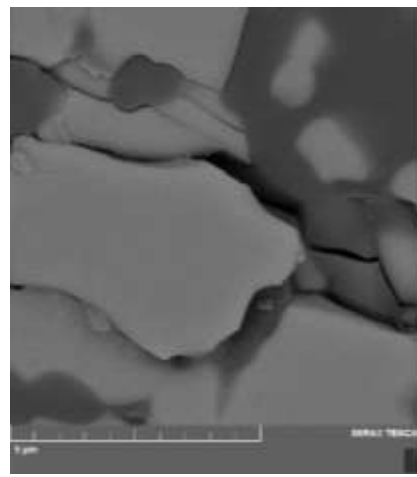
البته به نظر می‌رسد که اثر هم‌افزاینده مخلوط ذرات و ویسکرهای کربید سیلیسیم بر بهبود چقرمگی شکست کامپوزیت پایه‌دی‌بورید زیرکونیم بیشتر از تأثیر آن بر سختی نمونه کامپوزیتی بوده است. چقرمگی شکست نمونه سرامیک یکپارچه برابر ۳/۲ مگاپاسکال جذر متر تخمین زده شد. این تخمین با اندازه‌گیری مستقیم طول ترک‌های ایجاد شده ناشی از فرورونده ویکرز هنگام آزمون سختی سنجی به دست آمده است. در شکل ۱۰، تصویر میکروسکوپ الکترونی روبشی از محل اثر فرورونده ویکرز در سطح پرداخت شده سرامیک Z و ترک‌های ایجاد شده در چهار گوشه اثر لوزی ویکرز به نمایش درآمده است. همان‌گونه که در این شکل دیده

چقرمه‌کنندگی فاز تقویت‌کننده کاربید سیلیسیم است. مسیر گسترش ترک ناشی از فرورونده ویکرز در نمونه کامپوزیت تقویت شده با کاربید سیلیسیم ذره‌ای در شکل ۱۱ نشان داده شده است. ترک ایجادشده در این نمونه، با فازهای کاربید سیلیسیم برهم‌کنش داشته و منحرف شده است. افزون بر انحراف ترک، سازوکارهای چقرمه‌سازی دیگری همچون انشعاب ترک، پل‌زدن ترک و شکسته‌شدن ذرات کاربید سیلیسیم نیز در کامپوزیت‌های یادشده دیده شده است. بنابراین بهبود چقرمگی شکست کامپوزیت تقویت شده با کاربید سیلیسیم ذره‌ای را می‌توان به فعال‌شدن سازوکارهای یادشده نسبت داد. در کامپوزیت تقویت شده با کاربید سیلیسیم ویسکر که چقرمگی شکست آن اندکی بیشتر از نمونه تقویت شده با کاربید سیلیسیم ذره‌ای است، به‌نظر می‌رسد مورفولوژی ویسکری کاربید سیلیسیم کارکرد بهتری نسبت به مورفولوژی ذره‌ای آن داشته است. شاید بتوان گفت که ویسکرها سازوکارهای چقرمه‌سازی را بهتر فعال می‌کنند و چه‌بسا بیرون‌زدن ویسکرها کاربید سیلیسیم هنگام پدیده شکست نیز تا حدودی بتواند انرژی ترک را مستهلک کند و به افزایش چقرمگی نمونه کمک کند.

کاربید سیلیسیم مخلوط را نشان می‌دهد. این نمونه، چقرمگی شکست $6/2$ مگاپاسکال جذر متر دارد که تقریباً دو برابر چقرمگی شکست نمونه بدون افزودنی کاربیدی است و از مقادیر مربوط به نمونه‌های تقویت‌شده با کاربید سیلیسیم ذره‌ای یا ویسکر بیشتر است. چه‌بسا که وجود هم‌زمان این فازهای تقویت‌کننده با مورفولوژی‌های متفاوت به فعال‌شدن هرچه بهتر و بیشتر سازوکارهای چقرمه‌سازی انجامیده باشد. هنگام سرمایش نمونه‌ها از دمای تفجوشی و به‌دلیل اختلاف ضرایب انبساط گرمایی دی‌بورید زیرکونیم و کاربید سیلیسیم، پیدایش تنش‌های پسماند در فصل مشترک‌های میان فازها اجتناب‌ناپذیر است. برهم‌کنش‌های ترک با ریزساختار، تحت کنترل تنش‌های پسماندی است که به‌سبب ناسازگاری در ویژگی‌های گرمایی (همچون ضرایب انبساط گرمایی) و مکانیکی (مدول‌های کشسان) فازها به‌وجود می‌آیند. در حالت کلی، سهم مشارکت سازوکار انحراف ترک در بهبود چقرمگی شکست یک کامپوزیت به تعداد انحراف‌های روی‌داده و زاویه هر انحراف بستگی دارد؛ هرچه مسیر پیشروی ترک پرپیچ‌وخم باشد، شاخصی کیفی از جذب بیشتر انرژی ترک است.



شکل ۱۲ تصویر میکروسکوپ الکترونی روبشی از مسیر ترک ناشی از فرورونده ویکرز در کامپوزیت تقویت شده با کاربید سیلیسیم مخلوط



شکل ۱۱ تصویر میکروسکوپ الکترونی روبشی از مسیر ترک ناشی از فرورونده ویکرز در کامپوزیت تقویت شده با کاربید سیلیسیم ذره‌ای

نتیجه‌گیری

مورفولوژی فاز ثانویه کاربید سیلیسیم بر چگالش

شکل ۱۲ تصویر میکروسکوپ الکترونی روبشی از مسیر ترک فرورونده ویکرز در کامپوزیت تقویت شده با

(سختی و چقرمگی شکست) کامپوزیت پایه‌دی‌بورید زیرکونیم داشت. سازوکارهای چقرمه‌سازی در کامپوزیت‌های پایه‌دی‌بورید زیرکونیم در حضور فاز تقویت‌کننده کاربرد سیلیسیم شناسایی و بحث شد. به دلیل فعال شدن سازوکارهای چقرمه‌سازی متنوع با افزودن هم‌زمان هردو مورفولوژی ذرات و ویسکرها، کاربرد سیلیسیم، چقرمگی شکست بالاتری به دست آمد.

تشکر و قدردانی

این پژوهش با حمایت مالی حوزه معاونت پژوهشی دانشگاه محقق اردبیلی اجرا شده است. اجازه استفاده مجدد از برخی داده‌ها از انتشارات الزویر (مجوز شماره ۵۰۳۵۹۸۰۱۹۸۳۱۳) اخذ شده است.

کامپوزیت‌های پایه‌دی‌بورید زیرکونیم تأثیر مشهودی نداشت، زیرا همه نمونه‌های تقویت‌شده به چگالی نظری رسیدند. به نظر می‌رسد شرایط انتخاب‌شده برای فرایند تف‌جوشی (دمای ۱۹۰۰ درجه سانتی‌گراد، زمان ۷ دقیقه و فشار اعمالی ۴۰ مگاپاسکال) مناسب بوده است. افزودن کاربرد سیلیسیم (فارغ از نوع مورفولوژی آن) کارکرد مناسبی در جلوگیری از رشد دانه‌ها در ریزساختار نمونه‌های تف‌جوشی‌شده داشت. فرایند تف‌جوشی در همه موارد از نوع غیرواکنشی بود، زیرا ترکیب کامپوزیت نهایی مشابه مخلوط پودر اولیه بود. سختی و چقرمگی شکست نمونه‌های تقویت‌شده با کاربرد سیلیسیم بیشتر از نمونه سرامیکی بدون افزودنی کاربرد سیلیسیم به دست آمد. افزودن هم‌زمان ذرات و ویسکرها، کاربرد سیلیسیم، تأثیر چشمگیرتری در بهبود خواص مکانیکی

مراجع

1. Kaufman, L. and Clougherty, E.V., "Investigation of boride compounds for very high temperature applications", RTD-TRD-N69-73497, Part XXXVII, ManLabs Inc., Cambridge, MA, (1963).
2. Clougherty, E. V., Kalish, D. and Peters, E. T., "Research and development of refractory oxidaton resistant diborides", RTD-TRD-N63-4096, Part III, ManLabs Inc., Cambridge, MA, (1966).
3. Gangler, J., "NASA research on refractory compounds", *High Temp. High Press*, Vol. 3, pp. 487-502, (1971).
4. Cutler, R. A., "Engineering properties of borides, in Engineered materials handbook", *Materials Park, OH, ASM International*, Vol. 4, pp. 787-801, (1991).
5. Mroz, C., "Annual mineral review; Zirconium diboride", *Journal of the American Ceramic Society*, Vol. 74, pp. 165-166, (1995).
6. Gasch, M. J., Ellerby, D. T. and Johnson, S. M., "Ultra High Temperature Ceramic Composites", in Handbook of Ceramic Composites, Edited by N. P. Bansal. Kluwer Academic Publishers, Boston, pp. 198-199, (2005).
7. Monteverde, F., Bellosi, A. and Scatteia, L., "Processing and properties of ultra high temperature ceramics for space applications", *Materials Science and Engineering*, Vol. 485, No. 1-2, pp. 415-421, (2008).
8. Chamberlain, A. L., Fahrenholtz, W. G., Hilmas, G. E. and Ellerby, D. T., "High-strength zirconium diboride-based ceramics", *Journal of the American Ceramic Society*, Vol. 87, No. 6, pp. 1170-1172, (2004).
9. Henderson, S., Fahrenholtz, W. G., Hilmas, G. E. and Marschall, J., "High-velocity impact resistance of ZrB₂-SiC, in Mechanical Properties and Performance of Engineering Ceramics II", *Ceramic Engineering and Science Proceedings*, Vol. 27, pp. 3-10, (2008).

10. Zhang, H., Yan, Y., Liu, X. and Jiang, D., "Properties of ZrB_2 -SiC Ceramics by pressureless sintering", *Journal of the American Ceramic Society*, Vol. 92, No. 7, pp. 1599-1602, (2009).
11. Tripp, W. C., Davis, H. H. and Graham, H. C., "Effect of an SiC addition on the oxidation of ZrB_2 ", *American Ceramic Society Bulletin*, Vol. 52, No. 8, pp. 612-616, (1973).
12. Fahrenholtz, W. G., Hilmas, G. E., Talmy, I. G. and Zaykoski, J. A., "Refractory Diborides of Zirconium and Hafnium", *Journal of the American Ceramic Society*, Vol. 90, No. 5, pp. 1347-1364, (2007).
13. Loehman, R., Corral, E., Dumm, H. P., Kotula, P. and Tandon, R., "Ultrahigh temperature ceramics for hypersonic vehicle applications", Sandia National Laboratories Report, California, pp. 2006-2925 (2006).
14. Shugart, K. and Opila E., " SiC Depletion in ZrB_2 -30 vol% SiC at Ultrahigh Temperatures", *Journal of the American Ceramic Society*, Vol. 98, No. 5, pp. 1673-1683, (2015).
15. Guo, S. Q., "Densification of ZrB_2 -based composites and their mechanical and physical properties: A review", *Journal of the European Ceramic Society*, Vol. 29, No. 6, pp. 995-1011, (2009).
16. Liu, Q., Han, W., Zhang, X., Wang, S. and Han, J., "Microstructure and mechanical properties of ZrB_2 -SiC composites", *Materials Letters*, Vol. 63, pp. 1323-1325, (2009).
17. Cao, M., Wang, S. and Han, W., "Influence of nanosized SiC particle on the fracture toughness of ZrB_2 -based nanocomposite", *Materials Science and Engineering A*, Vol. 527, pp. 2925-2928, (2010).
18. Silvestroni, L., Sciti, D., Melandri, C., Guicciardi, S., "Toughened ZrB_2 -based ceramics through SiC whisker or SiC chopped fiber additions", *Journal of the European Ceramic Society*, Vol. 30, pp. 2155-2164, (2010).
19. Zhang, X., Xu, L., Du, S., Han, W. and Han, J., "Crack-healing behavior of zirconium diboride composite reinforced with silicon carbide whiskers", *Scripta Materialia*, Vol. 59, pp. 1222-1225, (2008).
20. Zhang, P., Hu, P., Zhang, X., Han, J. and Meng, S., "Processing and characterization of ZrB_2 -SiCw ultra-high temperature ceramics", *Journal of Alloys and Compounds*, Vol. 472, pp. 358-362, (2009).
21. Xiao, K., Guo, Q., Liu, Z., Zhao, S. and Liu, L., "Microstructure and mechanical properties of silicon carbide monofilament reinforced zirconium diboride matrix composites", *Ceramics International*, Vol. 39, pp. 2107-2110, (2013).
22. Hulbert, D. M., Jiang, D., Dudina, D. V. and Mukeherjee, A. K., "The synthesis and consolidation of hard materials by spark plasma sintering", *International Journal of Refractory Metals and Hard Materials*, Vol. 27, No. 2, pp. 367-375, (2009).
23. Bellosi, A., Monteverde, F. and Sciti, D., "Fast densification of ultra-high-temperature ceramics by spark plasma sintering", *International Journal of Applied Ceramic Technology*, Vol. 3, No. 1, pp. 32-40, (2006).
24. Pazhouhanfar, Y., Sabahi Namini, A., Shaddel, S., Ahmadi, Z. and Shahedi Asl, M., "Combined role of SiC particles and SiC whiskers on the characteristics of spark plasma sintered ZrB_2 ceramics", *Ceramics International*, Vol. 46, pp. 5773-5778, (2020).